# BERICHT

| | | |
|---|---|---|
| Auftrag-Nr.:<br>*Contract no.* | 1291/2021 – BF | 15.06.2021<br>STG/WOS |
| Auftraggeber:<br>*Customer* | Ralmont GmbH<br>Pavelsbacher Straße 17<br>DE-92361 Berngau | |
| Auftragsgegenstand:<br>*Subject* | Durchführung von Schraubenausziehversuchen an Bodeneinstandsprofilen | |
| Auftragsdatum:<br>*Date of contract* | 15.03.2021 | |
| Probeneingangsdatum:<br>*Date of sample delivery* | 08.02.2021 | |
| Leistungsdatum/<br>Leistungszeitraum:<br>*Date/Period of service* | Februar - April 2021 | |
| Geltungsdauer:<br>*Period of validity* | -- | |
| Textseiten:<br>*Pages* | 9 | |
| Beilagen:<br>*Enclosures* | 1 (5 Seiten) | |

Zwick / Roell

# Prüfprotokoll

| | | |
|---|---|---|
| Kunde | : | Ralmont |
| Auftrags-Nr. | : | LS 754/21 |
| Werkstoff | : | PUR - PET |
| Probentyp | : | Prüfling ca. 75 x 75 x 60 mm (LxBxD) |
| Vorbehandlung | : | keine (Lagerung der Proben bei Raumklima) |
| Prüfer | : | STG/DOS |
| Bemerkung | : | Fensterrahmenschrauben 7,5 x 52 mm, Überstand ca. 21 mm |

| | | | |
|---|---|---|---|
| Vorkraft | : | 20 | N |
| Prüfgeschwindigkeit | : | 10 | mm/min |

## Prüfergebnisse:

| Legende | Nr | Probenkennung | $F_{max}$ N | dL bei $F_{max}$ mm | $F_{Bruch}$ N | dL bei Bruch mm | Angaben zum Bruch |
|---|---|---|---|---|---|---|---|
| | 1 | D-1-F | 1520 | 1,2 | 304 | 3,6 | flächiger Materialausbruch |
| | 2 | D-1-Q | 1450 | 0,8 | 289 | 2,9 | kegelförmiger Materialausbruch |
| | 3 | D-1-L | 1580 | 1,0 | 316 | 4,2 | kegelförmiger Materialausbruch |
| | 4 | D-2-F | 1600 | 1,1 | 319 | 3,5 | flächiger Materialausbruch |
| | 5 | D-2-Q | 1450 | 1,0 | 290 | 2,7 | kegelförmiger Materialausbruch |
| | 6 | D-2-L | 1590 | 1,0 | 317 | 4,0 | kegelförmiger Materialausbruch |
| | 7 | D-3-F | 1690 | 1,3 | 338 | 3,6 | flächiger Materialausbruch |
| | 8 | D-3-Q | 1650 | 1,0 | 331 | 4,1 | kegelförmiger Materialausbruch |
| | 9 | D-3-L | 1690 | 1,0 | 338 | 3,6 | kegelförmiger Materialausbruch |
| | 10 | D-4-F | 1500 | 1,4 | 300 | 3,9 | flächiger Materialausbruch |
| | 11 | D-4-Q | 1460 | 0,9 | 292 | 4,5 | kegelförmiger Materialausbruch |
| | 12 | D-4-L | 1460 | 0,9 | 292 | 5,5 | kegelförmiger Materialausbruch |
| | 13 | D-5-F | 1660 | 1,1 | 331 | 3,3 | flächiger Materialausbruch |
| | 14 | D-5-Q | 1480 | 0,9 | 296 | 3,1 | kegelförmiger Materialausbruch |
| | 15 | D-5-L | 1560 | 1,0 | 312 | 4,0 | kegelförmiger Materialausbruch |

| Legende | Nr | Kommentar |
|---|---|---|
| | 1 | 10 mm/min |
| | 2 | 10 mm/min |
| | 3 | 10 mm/min |
| | 4 | 10 mm/min |
| | 5 | 10 mm/min |
| | 6 | 10 mm/min |
| | 7 | 10 mm/min |
| | 8 | 10 mm/min |
| | 9 | 10 mm/min |
| | 10 | 10 mm/min |
| | 11 | 10 mm/min |
| | 12 | 10 mm/min |
| | 13 | 10 mm/min |
| | 14 | 10 mm/min |
| | 15 | 10 mm/min |

## Seriengrafik:

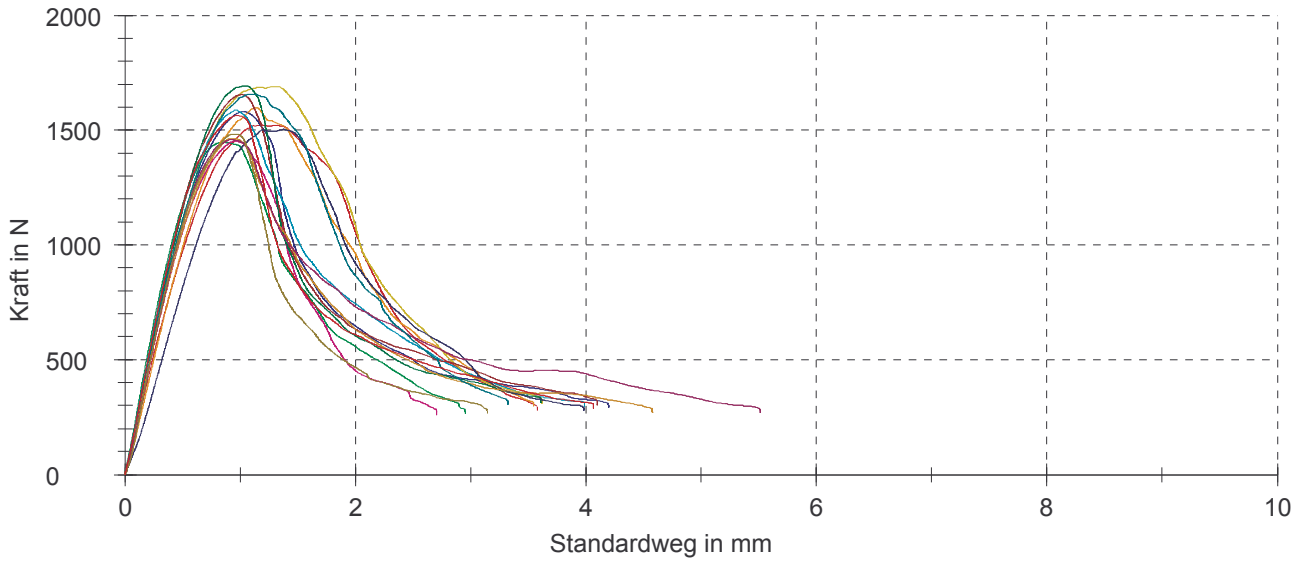


## Statistik:

| Serie n = 15 | $F_{max}$ N | dL bei $F_{max}$ mm | $F_{Bruch}$ N | dL bei Bruch mm |
|---|---|---|---|---|
| $\bar{x}$ | 1560 | 1,0 | 311 | 3,8 |
| s | 88,7 | 0,1 | 17,7 | 0,7 |
| ν [%] | 5,70 | 14,24 | 5,70 | 18,35 |